

鸡尾酒法评价石蒜对大鼠细胞色素 P450 酶活性的影响

李剑波，陈毅芳，张伟，方俊杰，祝大部，鲁迎，谢明华^{*}(杭州市余杭区第一人民医院，杭州 311100)

摘要：目的 运用鸡尾酒法评价石蒜对细胞色素 P450 酶活性的影响。方法 将大鼠随机分为对照组和石蒜低、高剂量组。对照组给予生理盐水，石蒜低、高剂量组大鼠灌胃给药 0.5, 1.0 g·kg⁻¹ 石蒜，连续给药 15 d。然后第 16 天给予探针药物，UPLC-MS/MS 检测探针药浓度。结果 与对照组对比，石蒜低剂量组和高剂量组的安非他酮 AUC_(0-t)、C_{max} 都显著升高($P<0.05$)，CL_{Z/F} 显著降低($P<0.05$)。与对照组对比，石蒜高剂量组的美托洛尔、咪达唑仑和非那西丁 AUC_(0-t) 显著降低($P<0.05$)、CL_{Z/F} 显著升高($P<0.05$)，而低剂量组与对照组比较差异无统计学意义。与对照组对比，石蒜组的甲苯磺丁脲 AUC_(0-t)、CL_{Z/F} 差异无统计学意义，C_{max} 显著降低($P<0.05$)。结论 石蒜能抑制大鼠 CYP2B1 酶活性，诱导大鼠 CYP2D1、CYP3A2 和 CYP1A2 酶活性，稍有诱导大鼠 CYP2C11 酶活性的作用。

关键词：石蒜；CYP2B1；CYP2D1；CYP3A2；CYP1A2；UPLC-MS/MS

中图分类号：R285.5 **文献标志码：**B **文章编号：**1007-7693(2021)20-2501-04

DOI：10.13748/j.cnki.issn1007-7693.2021.20.004

引用本文：李剑波，陈毅芳，张伟，等. 鸡尾酒法评价石蒜对大鼠细胞色素 P450 酶活性的影响[J]. 中国现代应用药学, 2021, 38(20): 2501-2504.

Effect of *Lycoris Radiata* on CYP450 Enzyme Activity in Rats by Cocktail Method

LI Jianbo, CHEN Yifang, ZHANG Wei, FANG Junjie, ZHU Dabu, LU Ying, XIE Minghua^{*}(The First People's Hospital of Yuhang District, Hangzhou 311100, China)

ABSTRACT: OBJECTIVE To evaluate the effect of *Lycoris radiata* on cytochrome P450 enzyme activity using the cocktail method. **METHODS** Rats were randomly divided into three groups: the control group, low and high dose of *Lycoris radiata* group. The control group was given physiological saline, and the rats in the low and high dose of *Lycoris radiata* group were intragastrically administrated 0.5, 1.0 g·kg⁻¹ of *Lycoris radiata* for 15 d. Then on the 16th day, probe drugs were administrated by gavage, and the concentration of probe drugs was determined by UPLC-MS/MS. **RESULTS** Compared with the control group, the AUC_(0-t) and C_{max} of bupropion in the low and high dose of *Lycoris radiata* group increased($P<0.05$) and the CL_{Z/F} decreased($P<0.05$). Compared with the control group, the AUC_(0-t) of metoprolol, midazolam, and phenacetin in the high dose *Lycoris radiata* group decreased($P<0.05$), and CL_{Z/F} increased($P<0.05$), while there was no statistical difference between the low dose *Lycoris radiata* group and the control group. Compared with the control group, the AUC_(0-t) and CL_{Z/F} of tolbutamide in the *Lycoris radiata* group were not statistically different, but the C_{max} of the *Lycoris radiata* group decreased($P<0.05$). **CONCLUSION** *Lycoris radiata* can inhibit CYP2B1 enzyme activity in rats, induce CYP2D1, CYP3A2 and CYP1A2 enzyme activities in rats, and slightly induce CYP2C11 enzyme activity in rats.

KEYWORDS: *Lycoris radiata*; CYP2B1; CYP2D1; CYP3A2; CYP1A2; UPLC-MS/MS

石蒜(*Lycoris radiata* Herb)是石蒜属的重要成员，在中国广泛分布，并被称为“红蜘蛛百合”^[1]。该植物偏爱阴凉潮湿的地方，可以用小鳞茎繁殖。石蒜已经在多个领域中进行了广泛的研究，包括分子生物学、形态学、药理学、分析化学、生理学、孢粉学和染色体生物学。该植物以其多种生物活性而著称，包括抗肿瘤、抗疟疾、抗微生物、降低血压、抗炎、抗细胞毒性和平神经保护作用^[2]。

细胞色素 P450(CYP)酶是混合功能氧化酶系统的组成部分，负责大多数异源生物和内源性分子的代谢^[3]。已知许多临幊上相关的抑制剂可能会影一或多种 CYP 同工酶的活性^[4]。例如，即使在治疗剂量下，抗菌药物克拉霉素也能抑制 CYP3A，导致严重的不良反应^[5]。目前尚无关于连续给药石蒜后对 CYP 酶能力影响的研究报道。本研究运用 5 种探针药物(安非他酮、美托洛尔、咪达唑仑、非那西丁、甲苯磺丁脲)评价石蒜对 5 种

基金项目：杭州市卫生科技计划项目(0020190325); 浙江省医学会临床科研基金项目(2018ZYC-A52); 浙江省药学会医院药学专项科研资助项目(2018ZYY12)

作者简介：李剑波，男，硕士，主管药师 Tel: (0571)89369036
副主任药师 Tel: (0571)89369508 E-mail: xmh53072@163.com

E-mail: 15356189099@163.com *通信作者：谢明华，男，硕士，

酶(CYP2B1, CYP2D1, CYP3A2, CYP1A2, CYP2C11)活力的影响。

1 材料与方法

1.1 材料

石蒜鳞茎部位由杭州市余杭区第一人民医院提供(由临平区第一人民医院乐加薇副主任中药师鉴定为正品), 100 °C, 常压, 加水煎煮1 h, 最后石蒜鳞茎浓度为 $1.0 \text{ g} \cdot \text{mL}^{-1}$, 高温灭菌, 真空袋分装存在4 °C备用。SD大鼠(δ , $220 \pm 20 \text{ g}$)来自浙江省医学科学院实验动物与安全性研究重点实验室, 实验动物生产许可证号: SCXK(浙)2014-0001。甲苯磺丁脲(批号: 078K0725; 纯度>98%)、美托洛尔(批号: 3-HBN-193-1; 纯度: 98%)和非那西丁(批号: STBB2177M9; 纯度>98%)均购自美国Sigma-Aldrich公司。安非他酮(批号: 100671-201001; 纯度: 99.8%)和咪达唑仑(批号: 171250-200401; 纯度: 99.8%)均购自中国食品药品检定研究院。

1.2 方法

1.2.1 探针药的药动力学 将18只大鼠($220 \pm 20 \text{ g}$)随机分为3组, 每组6只。2组不同剂量石蒜组分别给予石蒜 $0.5, 1.0 \text{ g} \cdot \text{kg}^{-1}$, 每天灌胃1次, 连续15 d, 对照组给予生理盐水。在第16天早晨, 将探针药物混合在玉米油中, 并给予石蒜组和对照组, 以单次剂量 $0.1 \text{ mg} \cdot \text{kg}^{-1}$ 甲苯磺丁脲, $10 \text{ mg} \cdot \text{kg}^{-1}$ 灌胃给予安非他酮、美托洛尔、非那西丁、咪达唑仑。给探针药后0.5 min, 0.5, 1, 2, 3, 4, 6, 8, 12, 24 h, 将血液(0.3 mL)样品从尾静脉收集, 离心后得 $100 \mu\text{L}$ 血浆。将 $200 \mu\text{L}$ 乙腈加入到 $100 \mu\text{L}$ 血浆, 涡旋1.0 min, $14000 \text{ r} \cdot \text{min}^{-1}$ 离心10 min, 将上清液($2 \mu\text{L}$)注入UPLC-MS/MS分析。采用DAS 3.0版本分析探针药物浓度。

1.2.2 UPLC-MS/MS 测定探针药物 Xevo TQ-S Micro三重四极杆质谱仪和ACQUITY UPLC(美国Waters公司), BEH C₁₈($50 \text{ mm} \times 2.1 \text{ mm}, 1.7 \mu\text{m}$)为色谱柱, 测定大鼠血浆中5种探针药浓度^[6]。

1.3 统计学处理

SPSS 18.0评估石蒜组和对照组的主要药动学参数, *t*检验, 以 $P < 0.05$ 为差异有统计学意义。

2 结果

2.1 石蒜对CYP2B1酶活力的影响

与对照组对比, 石蒜组的安非他酮的 $AUC_{(0-t)}$ 都有升高的趋势, 结果见图1。石蒜低剂量和高剂

量组的安非他酮 $AUC_{(0-t)}$ 、 $AUC_{(0-\infty)}$ 、 C_{max} 显著升高($P < 0.05$ 或 $P < 0.01$), $CL_{z/F}$ 显著降低($P < 0.05$ 或 $P < 0.01$), 结果见表1。表明石蒜可抑制大鼠CYP2B1酶活性。

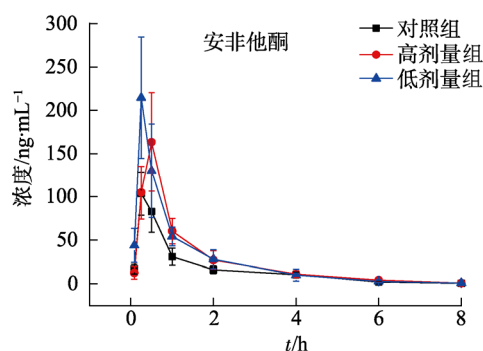


图1 大鼠安非他酮药动学曲线

Fig. 1 Pharmacokinetic curve of bupropion in rats

表1 安非他酮大鼠药动学参数

Tab. 1 Pharmacokinetic parameters of bupropion in rats

参数	对照组	低剂量组	高剂量组
$AUC_{(0-t)}$ ($\text{ng} \cdot \text{h} \cdot \text{mL}^{-1}$)	127.7 ± 25.7	208.3 ± 52.6 ¹⁾	202.0 ± 39.3 ²⁾
$AUC_{(0-\infty)}$ ($\text{ng} \cdot \text{h} \cdot \text{mL}^{-1}$)	128.5 ± 25.5	210.0 ± 54.1 ¹⁾	204.0 ± 39.2 ²⁾
$t_{1/2z}/\text{h}$	1.0 ± 0.2	1.1 ± 0.3	1.3 ± 0.3
$V_{z/F}/\text{L} \cdot \text{kg}^{-1}$	125.0 ± 52.6	75.4 ± 14.6	95.4 ± 36.2
$CL_{z/F}/\text{L} \cdot \text{h}^{-1} \cdot \text{kg}^{-1}$	80.6 ± 16.8	50.3 ± 13.3 ¹⁾	50.6 ± 10.2 ²⁾
$C_{max}/\text{ng} \cdot \text{mL}^{-1}$	107.2 ± 26.5	214.5 ± 70.1 ²⁾	170.2 ± 49.9 ¹⁾

注: 与对照组相比, ¹⁾ $P < 0.05$, ²⁾ $P < 0.01$ 。

Note: Compared with control group, ¹⁾ $P < 0.05$, ²⁾ $P < 0.01$.

2.2 石蒜对CYP2D1酶活力的影响

与对照组对比, 石蒜组的美托洛尔 $AUC_{(0-t)}$ 都有下降的趋势, 结果见图2。石蒜高剂量组的美托洛尔 $AUC_{(0-t)}$ 、 $AUC_{(0-\infty)}$ 、 C_{max} 显著降低($P < 0.05$ 或 $P < 0.01$), $CL_{z/F}$ 显著升高($P < 0.05$), 低剂量组与对照组相比差异无统计学意义, 结果见表2。表明石蒜可能诱导大鼠CYP2D1酶活性。

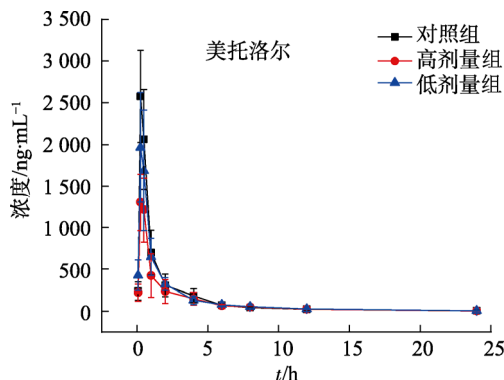


图2 大鼠美托洛尔药动学曲线

Fig. 2 Pharmacokinetic curve of metoprolol in rats

表 2 美托洛尔大鼠药动学参数

参数	对照组	低剂量组	高剂量组
$AUC_{(0-t)}/\text{ng}\cdot\text{h}\cdot\text{mL}^{-1}$	3 153.1±721.6	2 870.7±539.1	2 186.4±588.1 ¹⁾
$AUC_{(0-\infty)}/\text{ng}\cdot\text{h}\cdot\text{mL}^{-1}$	3 179.3±732.7	2 907.0±554.7	2 200.3±587.8 ¹⁾
$t_{1/2z}/\text{h}$	4.3±1.4	4.8±1.8	3.6±0.6
$V_{z/F}/\text{L}\cdot\text{kg}^{-1}$	20.1±7.6	24.1±7.4	25.0±6.3
$CL_{z/F}/\text{L}\cdot\text{h}^{-1}\cdot\text{kg}^{-1}$	3.3±0.8	3.5±0.6	4.8±1.4 ¹⁾
$C_{\max}/\text{ng}\cdot\text{mL}^{-1}$	2 592.3±535.6	2 117.6±559.8	1 502.7±335.9 ²⁾

注：与对照组相比，¹⁾ $P<0.05$ ，²⁾ $P<0.01$ 。

Note: Compared with control group, ¹⁾ $P<0.05$, ²⁾ $P<0.01$.

2.3 石蒜对 CYP3A2 酶活力的影响

与对照组对比，各组的咪达唑仑， $AUC_{(0-t)}$ 都有下降的趋势，结果见图 3。石蒜高剂量组咪达唑仑 $AUC_{(0-t)}$ 和 $AUC_{(0-\infty)}$ 显著降低($P<0.01$)， $CL_{z/F}$ 显著升高($P<0.05$)，而其低剂量组的 $AUC_{(0-t)}$ 、 $AUC_{(0-\infty)}$ 、 $CL_{z/F}$ 差异无统计学意义，结果见表 3。这表明石蒜可能会诱导大鼠 CYP3A2 酶活性。

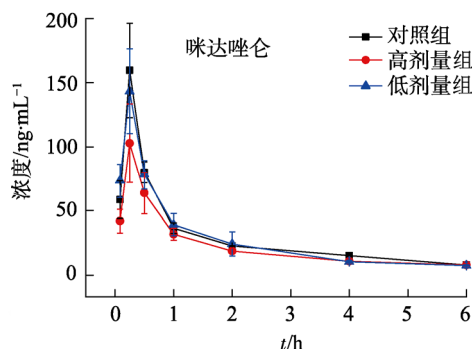


图 3 大鼠咪达唑仑药动学曲线

Fig. 3 Pharmacokinetic curve of midazolam in rats

表 3 咪达唑仑大鼠药动学参数

参数	对照组	低剂量组	高剂量组
$AUC_{(0-t)}/\text{ng}\cdot\text{h}\cdot\text{mL}^{-1}$	140.2±10.1	131.8±26.5	99.4±12.6 ²⁾
$AUC_{(0-\infty)}/\text{ng}\cdot\text{h}\cdot\text{mL}^{-1}$	142.9±8.1	133.2±26.3	102.5±12.4 ²⁾
$t_{1/2z}/\text{h}$	1.1±0.4	1.0±0.2	1.2±0.5
$V_{z/F}/\text{L}\cdot\text{kg}^{-1}$	109.8±40.8	113.1±36.8	177.1±73.9
$CL_{z/F}/\text{L}\cdot\text{h}^{-1}\cdot\text{kg}^{-1}$	70.1±4.0	77.1±13.8	98.8±13.1 ¹⁾
$C_{\max}/\text{ng}\cdot\text{mL}^{-1}$	163.9±39.3	146.4±35.3	103.0±32.9

注：与对照组相比，¹⁾ $P<0.05$ ，²⁾ $P<0.01$ 。

Note: Compared with control group, ¹⁾ $P<0.05$, ²⁾ $P<0.01$.

2.4 石蒜对 CYP1A2 酶活力的影响

与对照组对比，各组的非那西丁 $AUC_{(0-t)}$ 都有下降的趋势，结果见图 4。石蒜高剂量非那西丁 $AUC_{(0-t)}$ 、 $AUC_{(0-\infty)}$ 和 C_{\max} 显著降低($P<0.01$)， $CL_{z/F}$

显著升高($P<0.05$)，而其低剂量组的 $AUC_{(0-t)}$ 、 $AUC_{(0-\infty)}$ 、 $CL_{z/F}$ 和 C_{\max} 差异无统计学意义，结果见表 4。表明石蒜可能诱导大鼠 CYP1A2 酶活性。

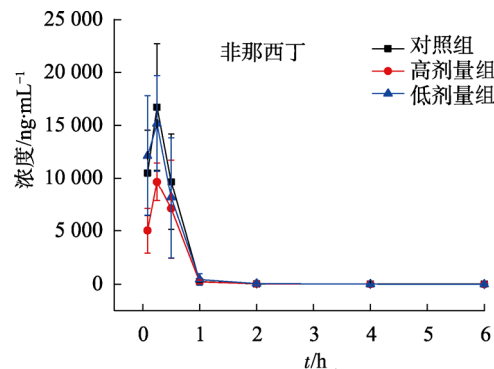


图 4 大鼠非那西丁药动学曲线

Fig. 4 Pharmacokinetic curve of phenacetin in rats

表 4 非那西汀大鼠药动学参数

Tab. 4 Pharmacokinetic parameters of phenacetin in rats

参数	对照组	低剂量组	高剂量组
$AUC_{(0-t)}/\text{ng}\cdot\text{h}\cdot\text{mL}^{-1}$	8 675.4±2 536.4	8 183.8±3 549.7	5 538.9±1 952.0 ²⁾
$AUC_{(0-\infty)}/\text{ng}\cdot\text{h}\cdot\text{mL}^{-1}$	8 679.6±2 536.2	8 185.5±3 549.6	5 541.2±1 950.9 ²⁾
$t_{1/2z}/\text{h}$	0.9±0.2	0.7±0.1	0.8±0.2
$V_{z/F}/\text{L}\cdot\text{kg}^{-1}$	1.7±0.9	1.6±0.8	2.3±1.2
$CL_{z/F}/\text{L}\cdot\text{h}^{-1}\cdot\text{kg}^{-1}$	1.3±0.5	1.4±0.6	2.0±0.6 ¹⁾
$C_{\max}/\text{ng}\cdot\text{mL}^{-1}$	17 904.4±4 427.3	15 503.9±4 321.4	10 659.1±2 385.0 ²⁾

注：与对照组相比，¹⁾ $P<0.05$ ，²⁾ $P<0.01$ 。

Note: Compared with control group, ¹⁾ $P<0.05$, ²⁾ $P<0.01$.

2.5 石蒜对 CYP2C11 酶活力的影响

与对照组对比，各组的甲苯磺丁脲 $AUC_{(0-t)}$ 都有下降的趋势，结果见图 5。但是石蒜 2 组的甲苯磺丁脲 $AUC_{(0-t)}$ 、 $AUC_{(0-\infty)}$ 、 $CL_{z/F}$ 差异都无统计学意义， C_{\max} 显著降低($P<0.05$ 或 $P<0.01$)，结果见表 5。表明石蒜稍有诱导大鼠 CYP2C11 酶活性的作用。

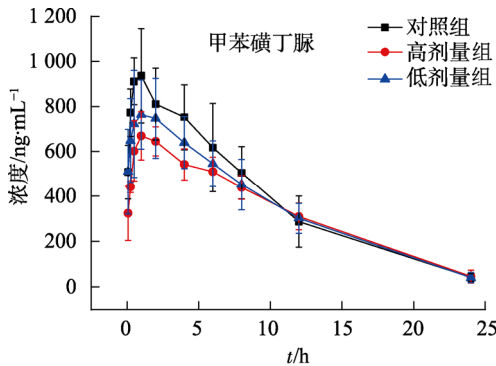


图 5 大鼠甲苯磺丁脲药动学曲线

Fig. 5 Pharmacokinetic curve of tolbutamide in rats

表5 甲苯磺丁脲大鼠药动学参数

Tab. 5 Pharmacokinetic parameters of tolbutamide in rats

参数	对照组	低剂量组	高剂量组
$AUC_{(0-\infty)}$ / $\text{ng}\cdot\text{h}\cdot\text{mL}^{-1}$	9 278.6±1 867.3	8 545.1±1 465.4	7 997.2±941.8
$AUC_{(0-\infty)}$ / $\text{ng}\cdot\text{h}\cdot\text{mL}^{-1}$	9 562.1±1 924.9	9 020.4±1 339.3	8 355.7±1 199.0
$t_{1/2z}/\text{h}$	4.5±0.7	5.3±2.1	4.9±1.2
$V_z/F/\text{L}\cdot\text{kg}^{-1}$	0.07±0.02	0.09±0.04	0.08±0.02
$CL_z/F/\text{L}\cdot\text{h}^{-1}\cdot\text{kg}^{-1}$	0.011±0.002	0.011±0.002	0.012±0.002
$C_{\max}/\text{ng}\cdot\text{mL}^{-1}$	1 023.7±128.7	852.9±163.7 ¹⁾	710.3±110.5 ²⁾

注：与对照组相比，¹⁾ $P<0.05$ ，²⁾ $P<0.01$ 。

Note: Compared with control group, ¹⁾ $P<0.05$, ²⁾ $P<0.01$.

3 讨论

细胞色素 P450(CYP)构成人类主要的药物代谢酶系统^[7-9]。这些酶的活性存在很大的个体差异，这可能引起血浆药物浓度的个体差异并导致治疗失败或不良反应^[10]。为了避免这些问题，评估体内 CYP 活性(表型)非常重要。在 1990 年代初，开发了一种“鸡尾酒”方法，旨在通过同时服用一种 CYP 特异性探针药物来评估多种 CYP 的活性。在过去的几年中，已经开发出了几种使用不同探针药物的鸡尾酒^[11-12]。本研究采用鸡尾酒法分别对 5 种酶活性进行分析。

石蒜在中国广泛分布，素有“红蜘蛛百合”之称。这种植物喜欢在阴凉潮湿的环境生长，可从小球茎繁殖，球茎中含有石蒜碱和加兰他敏这 2 种主要药用成分，在中药中广泛使用^[13]。目前尚无关于石蒜对 CYP 酶能力影响的研究报道。本实验表明石蒜有抑制大鼠 CYP2B1 酶活性，诱导大鼠 CYP2D1、CYP3A2 和 CYP1A2 酶活性，稍有诱导大鼠 CYP2C11 酶活性的作用。

REFERENCES

- [1] LIU Y X, ZHENG Y H, XIA T, et al. Karyotype studies on *Lycoris radiata* populations from China[J]. Genet Mol Res, 2016, 15(1): 15017357. Doi: 10.4238/gmr.15017357.
- [2] CHEN G L, TIAN Y Q, WU J L, et al. Antiproliferative activities of Amaryllidaceae alkaloids from *Lycoris radiata* targeting DNA topoisomerase I[J]. Sci Rep, 2016(6): 38284.

- [3] BOSILKOVSKA M, CLÉMENT M, DAYER P, et al. Incorporation of flurbiprofen in a 4-drug cytochrome p450 phenotyping cocktail[J]. Basic Clin Pharmacol Toxicol, 2014, 115(5): 465-466.
- [4] YAN P, ENG O C, YU C J. A review on the expression and metabolic features of orphan human cytochrome P450 2S1 (CYP2S1)[J]. Curr Drug Metab, 2018, 19(11): 917-929.
- [5] DINGER J, MEYER M R, MAURER H H. Development and validation of a liquid-chromatography high-resolution tandem mass spectrometry approach for quantification of nine cytochrome P450(CYP) model substrate metabolites in an *in vitro* CYP inhibition cocktail[J]. Anal Bioanal Chem, 2014, 406(18): 4453-4464.
- [6] SU K, LIU F L, WEN C C, et al. Simultaneous determination of bupropion, metoprolol, midazolam, phenacetin and tolbutamide in rat plasma by UPLC-MS/MS[J]. Chin J Heal Lab Technol(中国卫生检验杂志), 2018, 28(16): 1947-1951.
- [7] ZHUANG K Z, SUN J H, WANG Y P, et al. Effect of diazepam on CYP450 activity in rats determined by UPLC-MS/MS[J]. Chin J Mod Appl Pharm(中国现代应用药学), 2019, 36(3): 274-277.
- [8] WANG C X, JIN H, ZHOU B, et al. Effects of luteolin on activities and mRNA expressions of cytochrome P450 enzymes in rats[J]. Chin J Mod Appl Pharm(中国现代应用药学), 2018, 35(8): 1189-1193.
- [9] SUN J, ZHANG G P, SU P, et al. Effects of ginseng aconite and its effective components combination on the mRNA's expression of oxidase CYP2J3 hydroxylase, CYP4A3 and CYP4F11[J]. Chin J New Drugs(中国新药杂志), 2019, 28(17): 2081-2088.
- [10] LI T Y, LIU W, CHEN K, et al. The influence of combination use of CYP450 inducers on the pharmacokinetics of voriconazole: A systematic review[J]. J Clin Pharm Ther, 2017, 42(2): 135-146.
- [11] GIRI P, PATEL H, SRINIVAS N R. Use of cocktail probe drugs for indexing cytochrome P450 enzymes in clinical pharmacology studies-review of case studies[J]. Drug Metab Lett, 2019, 13(1): 3-18.
- [12] TANAKA S, UCHIDA S, INUI N, et al. Simultaneous LC-MS/MS analysis of the plasma concentrations of a cocktail of 5 cytochrome P450 substrate drugs and their metabolites[J]. Biol Pharm Bull, 2014, 37(1): 18-25.
- [13] ZHANG F J, SHU X C, WANG T, et al. The complete chloroplast genome sequence of *Lycoris radiata*[J]. Mitochondrial DNA Part B, 2019, 4(2): 2886-2887.

收稿日期：2020-08-18

(本文责编：沈倩)